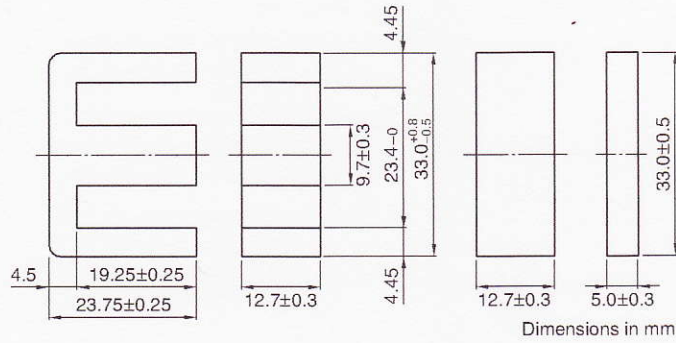


## EIシリーズ EI33/29/13 コア



## パラメータ

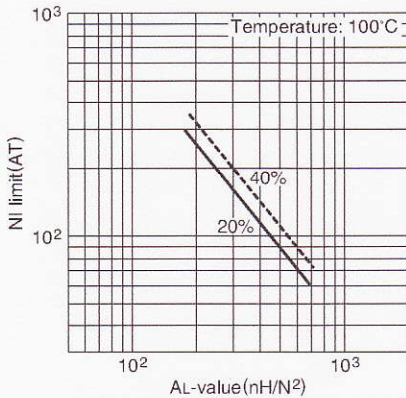
|         |          |                  |       |
|---------|----------|------------------|-------|
| コア定数    | C1       | mm <sup>-1</sup> | 0.567 |
| 実効磁路長   | $\ell_e$ | mm               | 67.5  |
| 実効断面積   | Ae       | mm <sup>2</sup>  | 119   |
| 実効体積    | Ve       | mm <sup>3</sup>  | 8030  |
| 中脚断面積   | Acp      | mm <sup>2</sup>  | 123   |
| 最小中脚断面積 | Acp min. | mm <sup>2</sup>  | 117   |
| 巻線断面積   | Acw      | mm <sup>2</sup>  | 138.6 |
| 質量 (組)  | g        |                  | 41    |

| 品名               | AL-value (nH/N <sup>2</sup> )                        | コアロス(W) at 100°C<br>100kHz, 200mT | 設計例<br>(フォワードコンバータ方式) |
|------------------|--|-----------------------------------|-----------------------|
| PC40EI33/29/13-Z | 4400±25% (1kHz, 0.5mA)*<br>5980 min. (100kHz, 200mT) | 3.5 max.                          | 206W (100kHz)         |

\* コイル :  $\phi 0.35$  2UEW 100Ts

## NI limit vs. AL-value (代表例)

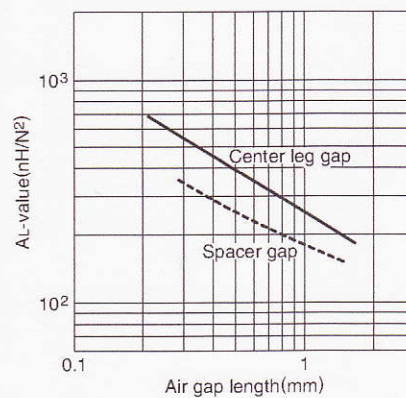
## PC40EI33/29/13 コア (ギャップ付)



Note: このグラフに示されている限界線は、磁束に対する励磁電流の変化が直線である部分を延長し、それが20%および40%はずれた時の磁界の強さとAL-valueの関係を表わします。

## AL-value vs. エアギャップ長 (代表例)

## PC40EI33/29/13 コア

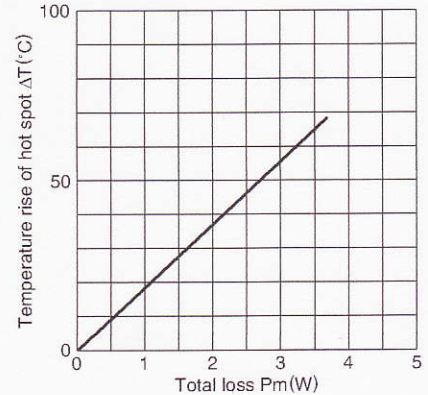


## 測定条件

- コイル :  $\phi 0.35$  2UEW 100Ts
- 周波数 : 1kHz
- 電流 : 0.5mA

## 温度上昇 vs. トータルロス特性 (代表例)

## EI33/29/13 コア



Note: 温度上昇データは、広さ約400x300x300cmの恒温恒湿 (25°C, 45%RH.) の室内で測定しました。

